

Header :
/Users/joseph/Documents/LaTeX/beamer/base/beamerbasedecode.sty, ve

27:

03rivanvx

Header :
/Users/joseph/Documents/LaTeX/beamer/base/beamerbaseoptions.sty, v

24:

31joseph

Au cœur de l'isochronie

Alicia Simon-Petit, **Jérôme Perez**, Guillaume Duval



Référence



2018, Communication in Mathematical Physics,
Alicia Simon-Petit, Jérôme Perez, Guillaume Duval.
Isochrony in 3D radial potentials.

Préprint : <https://arxiv.org/abs/1804.11282>.

Sommaire

Systèmes autogravitants

L'isochronie en 3D

La théorie de la relativité isochrone

La loi de Kepler

Dynamique autogravitante

Sommaire

Systèmes autogravitants

L'isochronie en 3D

La théorie de la relativité isochrone

La loi de Kepler

Dynamique autogravitante

Dynamique Gravitationnelle

Equation de Boltzmann sans collision :

$$\frac{\partial f}{\partial t} + \mathbf{v} \cdot \frac{\partial f}{\partial \mathbf{r}} - \nabla \psi \cdot \frac{\partial f}{\partial \mathbf{v}} = 0$$

Dynamique Gravitationnelle

Equation de Boltzmann sans collision :

$$\frac{\partial f}{\partial t} + \mathbf{v} \cdot \frac{\partial f}{\partial \mathbf{r}} - \nabla \psi \cdot \frac{\partial f}{\partial \mathbf{v}} = 0$$

- Fonction de distribution $f(\mathbf{r}, \mathbf{v}, t)$.

Dynamique Gravitationnelle

Equation de Boltzmann sans collision :

$$\frac{\partial f}{\partial t} + \mathbf{v} \cdot \frac{\partial f}{\partial \mathbf{r}} - \nabla \psi \cdot \frac{\partial f}{\partial \mathbf{v}} = 0$$

- Fonction de distribution $f(\mathbf{r}, \mathbf{v}, t)$.
- Potentiel gravitationnel :

$$\psi = -G \cdot \left(G * \underbrace{\int f d\mathbf{v}}_{\text{densité, } \rho} \right) \Leftrightarrow \Delta \psi = 4\pi G \int f d\mathbf{v}$$

Dynamique Gravitationnelle

Equation de Boltzmann sans collision :

$$\frac{\partial f}{\partial t} + \mathbf{v} \cdot \frac{\partial f}{\partial \mathbf{r}} - \nabla \psi \cdot \frac{\partial f}{\partial \mathbf{v}} = 0$$

- Fonction de distribution $f(\mathbf{r}, \mathbf{v}, t)$.
- Potentiel gravitationnel :

$$\psi = -G \cdot \left(G * \underbrace{\int f d\mathbf{v}}_{\text{densité, } \rho} \right) \Leftrightarrow \Delta \psi = 4\pi G \int f d\mathbf{v}$$

- Sans collisions car généralement $T_{\text{dyn}} \ll T_{\text{col}}$

Amas globulaires



NGC362 — Source : Hubble

Amas globulaires



NGC362 — Source : Hubble

Comment déterminer ψ ?

Amas globulaires



NGC362 — Source : Hubble

Comment déterminer ψ ?

1. A partir des observations : en supposant une relation masse-luminosité $v \propto \rho$ et en résolvant l'équation de Poisson $\Delta\psi = \rho$.

Amas globulaires



NGC362 — Source : Hubble

Comment déterminer ψ ?

1. A partir des observations : en supposant une relation masse-luminosité $v \propto \rho$ et en résolvant l'équation de Poisson $\Delta\psi = \rho$.
2. A partir de considérations théoriques...

Amas globulaires



NGC362 — Source : Hubble

Comment déterminer ψ ? $\Delta\psi = \rho$ avec

Amas globulaires



NGC362 — Source : Hubble

Comment déterminer ψ ? $\Delta\psi = \rho$ avec

- $\rho = \text{cst} \implies \psi_{\text{ha}}(r) = \frac{1}{2}\omega^2 r^2,$

Amas globulaires



NGC362 — Source : Hubble

Comment déterminer ψ ? $\Delta\psi = \rho$ avec

- $\rho = \text{cst} \implies \psi_{\text{ha}}(r) = \frac{1}{2}\omega^2 r^2,$
- $\rho = “\delta(\mathbf{r}_0)”M \implies \psi_{\text{ke}}(r) = -\frac{GM}{r},$

Amas globulaires



NGC362 — Source : Hubble

Comment déterminer ψ ? $\Delta\psi = \rho$ avec

- $\rho = \text{cst} \implies \psi_{\text{ha}}(r) = \frac{1}{2}\omega^2 r^2, \quad T = \frac{2\pi}{\omega}$

- $\rho = " \delta(\mathbf{r}_0) " M \implies \psi_{\text{ke}}(r) = -\frac{GM}{r},$



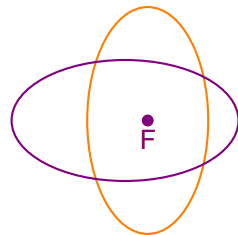
Amas globulaires



NGC362 — Source : Hubble

Comment déterminer ψ ? $\Delta\psi = \rho$ avec

- $\rho = \text{cst} \implies \psi_{\text{ha}}(r) = \frac{1}{2}\omega^2 r^2$, $T = \frac{2\pi}{\omega}$
- $\rho = \text{“}\delta(\mathbf{r}_0)\text{”}M \implies \psi_{\text{ke}}(r) = -\frac{GM}{r}$, $T^2 \propto a^3 \propto |E|^{-3}$: 3^{eme} loi de K.



Sommaire

Systèmes autogravitants

L'isochronie en 3D

La théorie de la relativité isochrone

La loi de Kepler

Dynamique autogravitante

Potentiels isochrones

L'énergie :

$$E = m\xi = \frac{1}{2}m \left[\left(\frac{dr}{dt} \right)^2 + \frac{\Lambda^2}{2r^2} \right] + m\psi$$

fournit l'équation du mouvement radial dans le plan orbital fixé par Λ :

$$\frac{1}{2} \left(\frac{dr}{dt} \right)^2 + \frac{\Lambda^2}{2r^2} - (\xi - \psi) = 0 \quad (\text{M})$$

Potentiels isochrones

l'équation du mouvement radial dans le plan orbital fixé par Λ :

$$\frac{1}{2} \left(\frac{dr}{dt} \right)^2 + \frac{\Lambda^2}{2r^2} - (\xi - \psi) = 0 \quad (\text{M})$$

Potentiels isochrones

l'équation du mouvement radial dans le plan orbital fixé par Λ :

$$\frac{1}{2} \left(\frac{dr}{dt} \right)^2 + \frac{\Lambda^2}{2r^2} - (\xi - \psi) = 0 \quad (\text{M})$$

- Pour un potentiel donné, ψ , l'ensemble des orbites périodiques est donné par

$$\Theta_\psi = \{ (\xi, \Lambda) \in \mathbb{R}^2, \text{ t.q. } r(\cdot) \text{ soit périodique et solution de (M)} \}.$$

Potentiels isochrones

l'équation du mouvement radial dans le plan orbital fixé par Λ :

$$\frac{1}{2} \left(\frac{dr}{dt} \right)^2 + \frac{\Lambda^2}{2r^2} - (\xi - \psi) = 0 \quad (\text{M})$$

- Pour un potentiel donné, ψ , l'ensemble des orbites périodiques est donné par

$$\Theta_\psi = \left\{ (\xi, \Lambda) \in \mathbb{R}^2, \text{ t.q. } r(\cdot) \text{ soit périodique et solution de (M)} \right\}.$$

- Si $(\xi, \Lambda) \in \Theta_\psi$, alors la période

$$\tau_r(\xi, \Lambda) = 2 \int_{r_{min}}^{r_{max}} \frac{dr}{\sqrt{2(\xi - \psi(r)) - \frac{\Lambda^2}{r^2}}} < \infty.$$

Potentiels isochrones

l'équation du mouvement radial dans le plan orbital fixé par Λ :

$$\frac{1}{2} \left(\frac{dr}{dt} \right)^2 + \frac{\Lambda^2}{2r^2} - (\xi - \psi) = 0 \quad (M)$$

- Pour un potentiel donné, ψ , l'ensemble des orbites périodiques est donné par

$$\Theta_\psi = \left\{ (\xi, \Lambda) \in \mathbb{R}^2, \text{ t.q. } r(\cdot) \text{ soit périodique et solution de (M)} \right\}.$$

- Si $(\xi, \Lambda) \in \Theta_\psi$, alors la période

$$\tau_r(\xi, \Lambda) = 2 \int_{r_{min}}^{r_{max}} \frac{dr}{\sqrt{2(\xi - \psi(r)) - \frac{\Lambda^2}{r^2}}} < \infty.$$

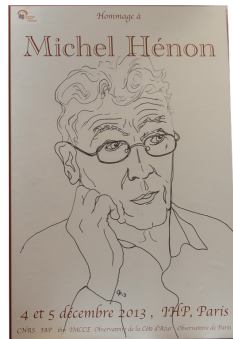
Chercher un potentiel isochrone :

Trouver tous les $\psi(r)$, t.q. $\Theta_\psi \neq \emptyset$ et $\forall (\xi, \Lambda) \in \Theta_\psi, \tau_r(\xi, \Lambda) \equiv \tau_r(\xi)$.

La propriété géométrique de l'isochronie

$$\text{Idée : } \begin{pmatrix} r \\ \psi \end{pmatrix} \rightarrow \begin{pmatrix} x = 2r^2 \\ Y(x) = x\psi(x) \end{pmatrix},$$

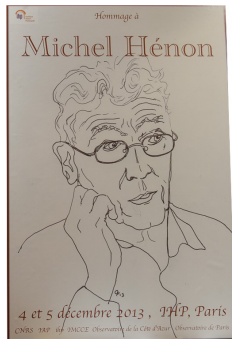
$$\frac{1}{2} \left(\frac{dr}{dt} \right)^2 = \xi - \frac{\Lambda^2}{2r^2} - \psi(r). \quad (\text{M})$$



La propriété géométrique de l'isochronie

$$\text{Idée : } \begin{pmatrix} r \\ \psi \end{pmatrix} \rightarrow \begin{pmatrix} x = 2r^2 \\ Y(x) = x\psi(x) \end{pmatrix},$$

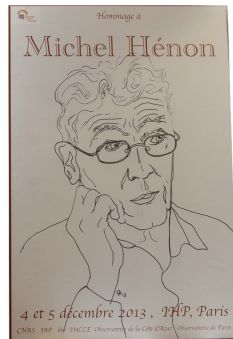
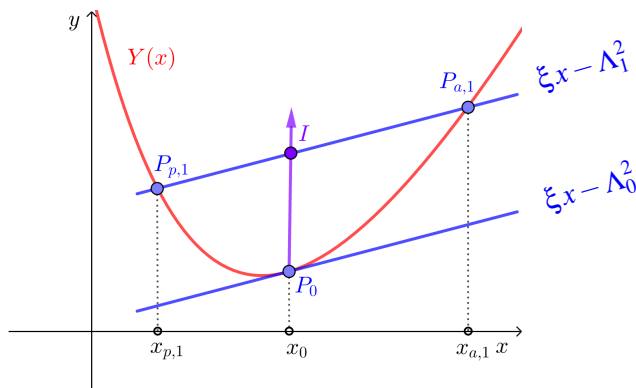
$$\frac{1}{16} \left(\frac{dx}{dt} \right)^2 = \xi x - \Lambda^2 - Y(x). \quad (\text{M})$$



La propriété géométrique de l'isochronie

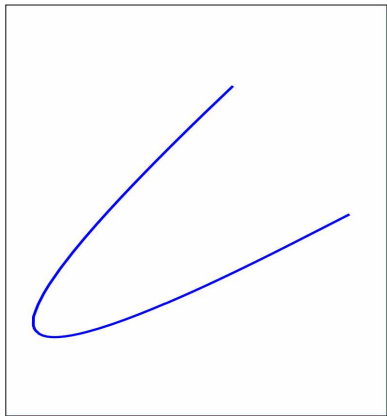
Idée : $\begin{pmatrix} r \\ \psi \end{pmatrix} \rightarrow \begin{pmatrix} x = 2r^2 \\ Y(x) = x\psi(x) \end{pmatrix},$

$$\frac{1}{16} \left(\frac{dx}{dt} \right)^2 = \xi x - \Lambda^2 - Y(x). \quad (M)$$



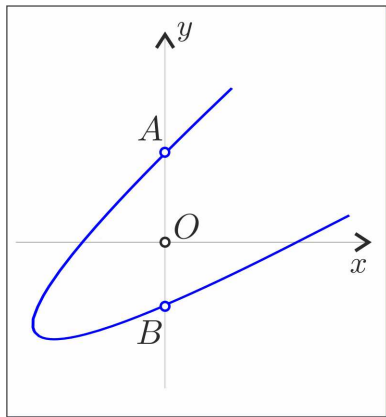
Les paraboles isochrones

$$\frac{1}{16} \left(\frac{dx}{dt} \right)^2 = \xi x - \Lambda^2 - Y(x). \quad (\text{M})$$



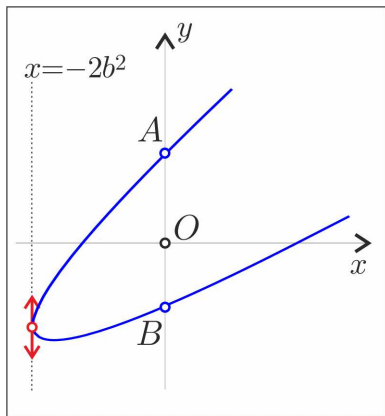
Les paraboles isochrones

$$\frac{1}{16} \left(\frac{dx}{dt} \right)^2 = \xi x - \Lambda^2 - Y(x). \quad (\text{M})$$



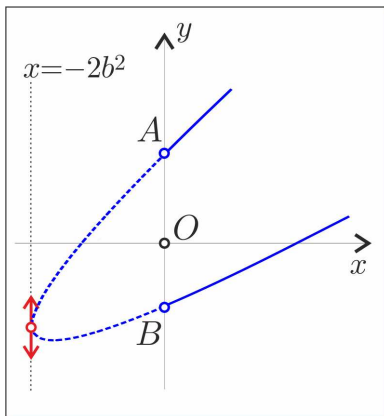
Les paraboles isochrones

$$\frac{1}{16} \left(\frac{dx}{dt} \right)^2 = \xi x - \Lambda^2 - Y(x). \quad (\text{M})$$



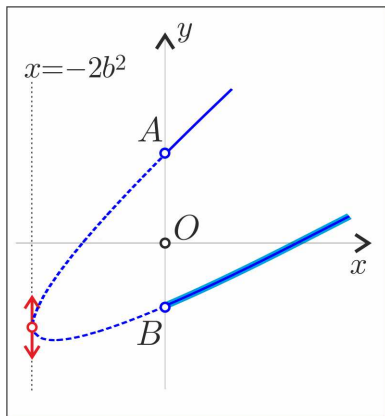
Les paraboles isochrones

$$\frac{1}{16} \left(\frac{dx}{dt} \right)^2 = \xi x - \Lambda^2 - Y(x). \quad (\text{M})$$



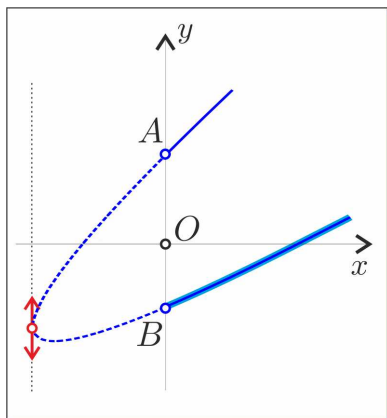
Les paraboles isochrones

$$\frac{1}{16} \left(\frac{dx}{dt} \right)^2 = \xi x - \Lambda^2 - Y(x). \quad (\text{M})$$



Changer ξ ou Λ

$$\frac{1}{16} \left(\frac{dx}{dt} \right)^2 = \xi x - \Lambda^2 - Y(x).$$



$$Y(x) = x\psi(x)$$

Modifier l'énergie : $\xi \rightarrow \xi + \alpha$

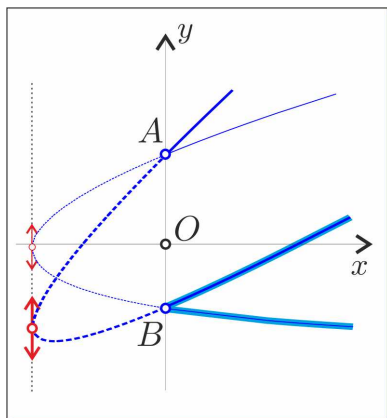
peut être absorbé par $\psi \rightarrow \psi - \alpha$

i.e. appliquer une transvection à la parabole

$$\begin{pmatrix} x' \\ y' \end{pmatrix} = \begin{pmatrix} 1 & 0 \\ \alpha & 1 \end{pmatrix} \begin{pmatrix} x \\ y \end{pmatrix}$$

Changer ξ ou Λ

$$\frac{1}{16} \left(\frac{dx}{dt} \right)^2 = \xi x - \Lambda^2 - Y(x).$$



$$Y(x) = x\psi(x)$$

Modifier l'énergie : $\xi \rightarrow \xi + \alpha$

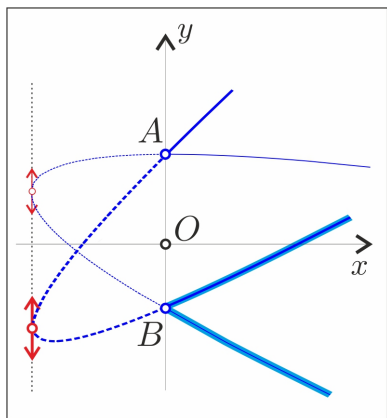
peut être absorbé par $\psi \rightarrow \psi - \alpha$

i.e. appliquer une transvection à la parabole

$$\begin{pmatrix} x' \\ y' \end{pmatrix} = \begin{pmatrix} 1 & 0 \\ \alpha & 1 \end{pmatrix} \begin{pmatrix} x \\ y \end{pmatrix}$$

Changer ξ ou Λ

$$\frac{1}{16} \left(\frac{dx}{dt} \right)^2 = \xi x - \Lambda^2 - Y(x).$$



$$Y(x) = x\psi(x)$$

Modifier l'énergie : $\xi \rightarrow \xi + \alpha$

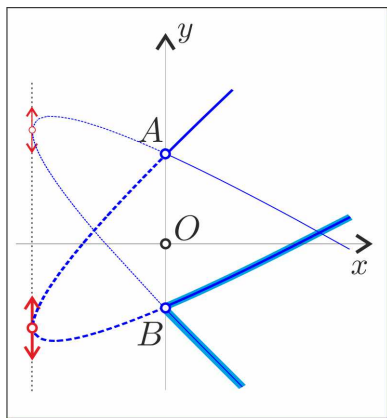
peut être absorbé par $\psi \rightarrow \psi - \alpha$

i.e. appliquer une transvection à la parabole

$$\begin{pmatrix} x' \\ y' \end{pmatrix} = \begin{pmatrix} 1 & 0 \\ \alpha & 1 \end{pmatrix} \begin{pmatrix} x \\ y \end{pmatrix}$$

Changer ξ ou Λ

$$\frac{1}{16} \left(\frac{dx}{dt} \right)^2 = \xi x - \Lambda^2 - Y(x).$$



$$Y(x) = x\psi(x)$$

Modifier l'énergie : $\xi \rightarrow \xi + \alpha$

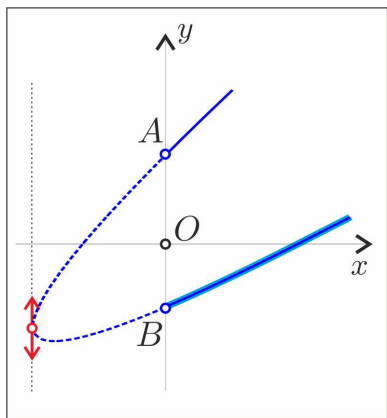
peut être absorbé par $\psi \rightarrow \psi - \alpha$

i.e. appliquer une transvection à la parabole

$$\begin{pmatrix} x' \\ y' \end{pmatrix} = \begin{pmatrix} 1 & 0 \\ \alpha & 1 \end{pmatrix} \begin{pmatrix} x \\ y \end{pmatrix}$$

Changer ξ ou Λ

$$\frac{1}{16} \left(\frac{dx}{dt} \right)^2 = \xi x - \Lambda^2 - Y(x).$$



$$Y(x) = x\psi(x)$$

Modifier le moment cinétique :

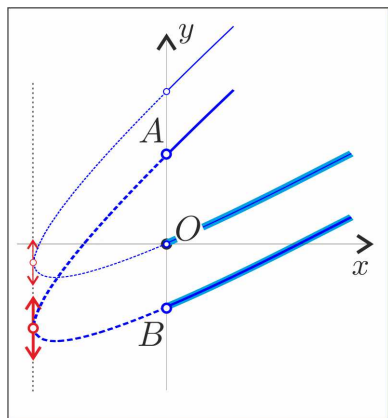
$$\Lambda^2 \rightarrow \Lambda^2 + \beta$$

peut être absorbé par $Y \rightarrow Y - \beta$

i.e. appliquer une translation à la parabole

Changer ξ ou Λ

$$\frac{1}{16} \left(\frac{dx}{dt} \right)^2 = \xi x - \Lambda^2 - Y(x).$$



$$Y(x) = x\psi(x)$$

Modifier le moment cinétique :

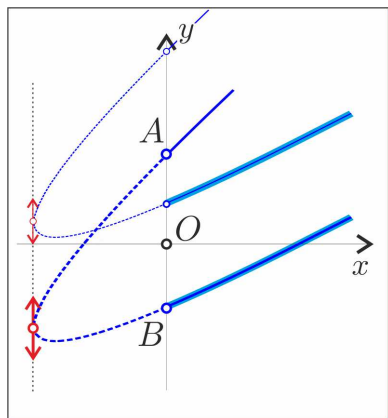
$$\Lambda^2 \rightarrow \Lambda^2 + \beta$$

peut être absorbé par $Y \rightarrow Y - \beta$

i.e. appliquer une translation à la parabole

Changer ξ ou Λ

$$\frac{1}{16} \left(\frac{dx}{dt} \right)^2 = \xi x - \Lambda^2 - Y(x).$$



$$Y(x) = x\psi(x)$$

Modifier le moment cinétique :

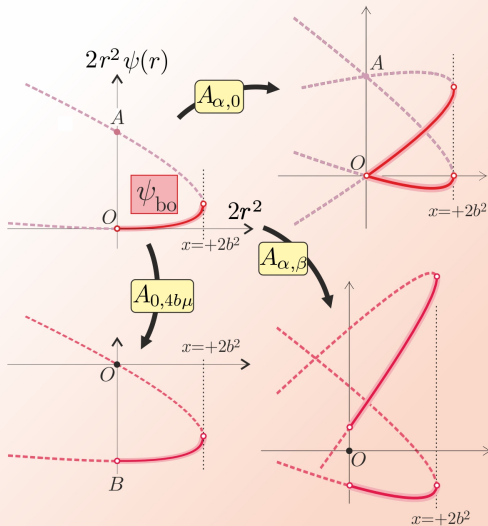
$$\Lambda^2 \rightarrow \Lambda^2 + \beta$$

peut être absorbé par $Y \rightarrow Y - \beta$

i.e. appliquer une translation à la parabole

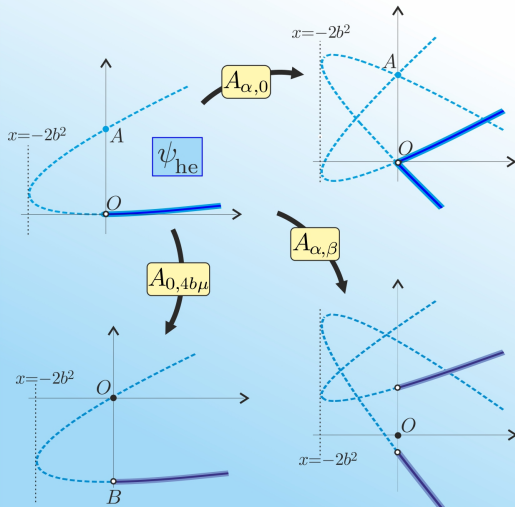
Classification des isochrones

Ouvertes à gauche

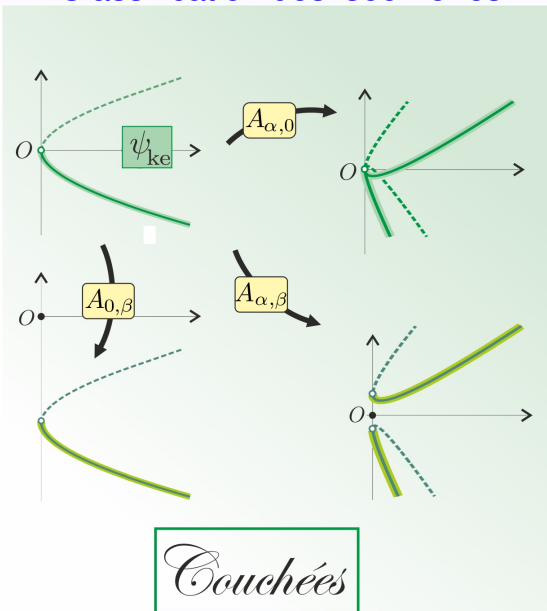


Classification des isochrones

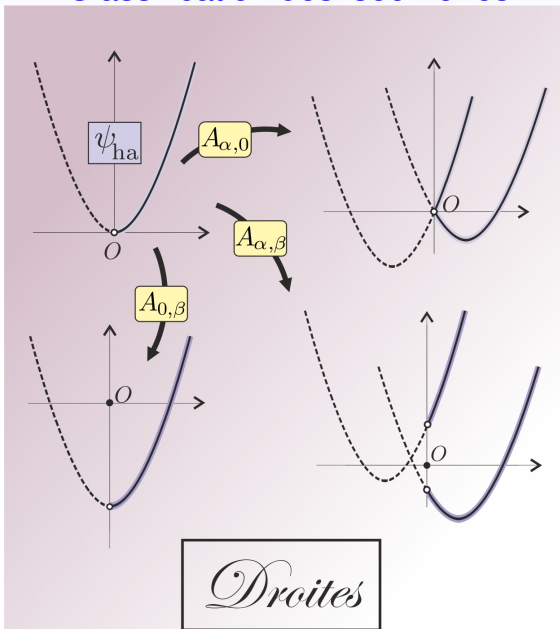
Ouvertes à droite



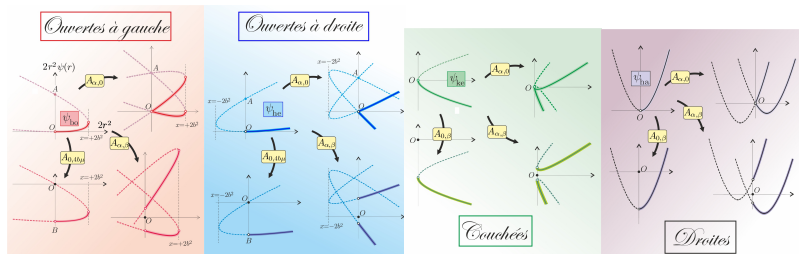
Classification des isochrones



Classification des isochrones



Classification des isochrones



Théorème

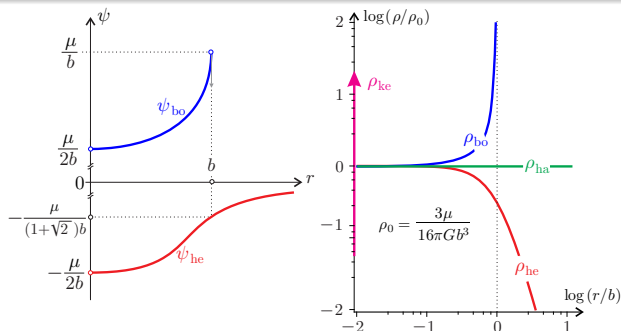
Il existe 4 familles de potentiels isochrones ψ_{ke} , ψ_{ha} , ψ_{he} et ψ_{bo} .
 Tout potentiel isochrone est dans l'orbite de l'un de ces potentiels sous l'action du groupe $\mathbb{A} = \{\alpha - \text{transvections}, \beta - \text{translations}\}$.

Classification des isochrones

Théorème

Il existe 4 familles de potentiels isochrones ψ_{ke} , ψ_{ha} , ψ_{he} et ψ_{bo} .

Tout potentiel isochrone est dans l'orbite de l'un de ces potentiels sous l'action du groupe $\mathbb{A} = \{\alpha - \text{transvections}, \beta - \text{translations}\}$.



Potentiel et masse volumique du Hénon et du borné.

Sommaire

Systèmes autogravitants

L'isochronie en 3D

La théorie de la relativité isochrone

La loi de Kepler

Dynamique autogravitante

De l'harmonique au Keplerien...

De l'harmonique au Keplerien...

Harmonique

$$\mathcal{H}_{\text{ha}} = \frac{1}{2} \left(p_q^2 + \frac{p_{\theta}^2}{q^2} \right) + \underbrace{\frac{1}{2} \omega^2 q^2}_{\Psi_{\text{ha}}(q) = \frac{1}{2} \omega^2 q^2}$$

De l'harmonique au Keplerien...

Harmonique

$$\mathcal{H}_{\text{ha}} = \frac{1}{2} \left(p_q^2 + \frac{p_\theta^2}{q^2} \right) + \underbrace{\frac{1}{2} \omega^2 q^2}_{\Psi_{\text{ha}}(q) = \frac{1}{2} \omega^2 q^2}$$

Transformation canonique :

$$(q, \theta, p_q, p_\theta) \rightarrow (x, \theta, p_x, p_\theta)$$

$$\text{avec } \begin{vmatrix} \frac{\partial x}{\partial q} & \frac{\partial x}{\partial p_q} \\ \frac{\partial p_x}{\partial q} & \frac{\partial p_x}{\partial p_q} \end{vmatrix} = 1.$$

De l'harmonique au Keplerien...

Harmonique

$$\mathcal{H}_{\text{ha}} = \frac{1}{2} \left(p_q^2 + \frac{p_\theta^2}{q^2} \right) + \underbrace{\frac{1}{2} \omega^2 q^2}_{\Psi_{\text{ha}}(q) = \frac{1}{2} \omega^2 q^2}$$

Transformation canonique :

$$(q, \theta, p_q, p_\theta) \rightarrow (x, \theta, p_x, p_\theta)$$

$$\text{avec} \begin{vmatrix} \frac{\partial x}{\partial q} & \frac{\partial x}{\partial p_q} \\ \frac{\partial p_x}{\partial q} & \frac{\partial p_x}{\partial p_q} \end{vmatrix} = 1, \text{ si } x = \frac{q^2}{\ell} \text{ alors } p_x = \frac{\ell \cdot p_q}{2q} \text{ ainsi}$$

$$\mathcal{H}_{\text{ha}} = \frac{4x}{\ell} \left[\frac{1}{2} \left(p_x^2 + \frac{p_\theta^2}{4x^2} \right) + \frac{\omega^2 \ell^2}{8} \right].$$

De l'harmonique au Keplerien...

Harmonique

$$\Psi_{\text{ha}}(q) = \frac{1}{2} \omega^2 q^2$$

Kepler

$$\Psi_{\text{ke}}(r) = -\frac{\mu}{r}$$

Transformation canonique :

$$\mathcal{H}_{\text{ha}} = \frac{4x}{\ell} \left[\frac{1}{2} \left(p_x^2 + \frac{p_\theta^2}{4x^2} \right) + \frac{\omega^2 \ell^2}{8} \right]$$

$$\mathcal{H}_{\text{ke}} = \frac{1}{2} \left(p_r^2 + \frac{p_\phi^2}{r^2} \right) - \frac{\mu}{r}$$

De l'harmonique au Keplerien...

Harmonique

$$\Psi_{\text{ha}}(q) = \frac{1}{2} \omega^2 q^2$$

Kepler

$$\Psi_{\text{ke}}(r) = -\frac{\mu}{r}$$

Transformation canonique :

$$\mathcal{H}_{\text{ha}} = \frac{4x}{\ell} \left[\frac{1}{2} \left(p_x^2 + \frac{p_\theta^2}{4x^2} \right) + \frac{\omega^2 \ell^2}{8} \right] \quad \mathcal{H}_{\text{ke}} = \frac{1}{2} \left(p_r^2 + \frac{p_\phi^2}{r^2} \right) - \frac{\mu}{r}$$

que l'on réécrit sous la forme

$$-\frac{\omega^2 \ell^2}{8} = \frac{1}{2} \left(p_x^2 + \frac{p_\theta^2}{4x^2} \right) - \frac{\ell \mathcal{H}_{\text{ha}}}{4x}$$

et en posant $\mathcal{H}_{\text{ke}} = -\frac{\omega^2 \ell^2}{8}$ $p_\phi = \frac{p_\theta}{2}$ $\mu = \frac{\ell \mathcal{H}_{\text{ha}}}{4}$

De l'harmonique au Keplerien...

Harmonique

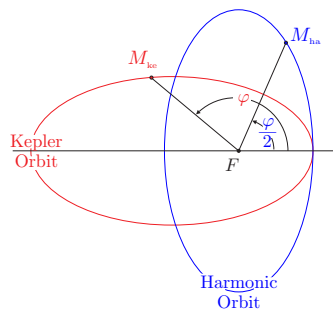
$$\Psi_{\text{ha}}(q) = \frac{1}{2} \omega^2 q^2$$

$$\mathcal{H}_{\text{ha}} = \frac{4x}{\ell} \left[\frac{1}{2} \left(p_x^2 + \frac{p_\theta^2}{4x^2} \right) + \frac{\omega^2 \ell^2}{8} \right]$$

Kepler

$$\Psi_{\text{ke}}(r) = -\frac{\mu}{r}$$

$$\mathcal{H}_{\text{ke}} = \frac{1}{2} \left(p_r^2 + \frac{p_\phi^2}{r^2} \right) - \frac{\mu}{r}$$



De l'harmonique au Keplerien...

Harmonique

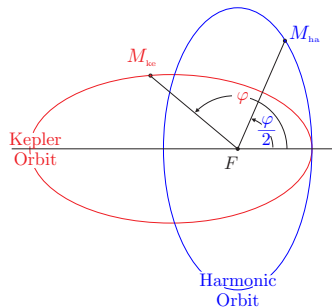
$$\Psi_{\text{ha}}(q) = \frac{1}{2} \omega^2 q^2$$

$$\mathcal{H}_{\text{ha}} = \frac{4x}{\ell} \left[\frac{1}{2} \left(p_x^2 + \frac{p_\theta^2}{4x^2} \right) + \frac{\omega^2 \ell^2}{8} \right]$$

Kepler

$$\Psi_{\text{ke}}(r) = -\frac{\mu}{r}$$

$$\mathcal{H}_{\text{ke}} = \frac{1}{2} \left(p_r^2 + \frac{p_\phi^2}{r^2} \right) - \frac{\mu}{r}$$



alias Goursat, Darboux, Levi-Civita,
Transformation de Bohlin ($z \mapsto \frac{1}{2}z^2$),
etc.

De l'harmonique au Keplerien...

Harmonique

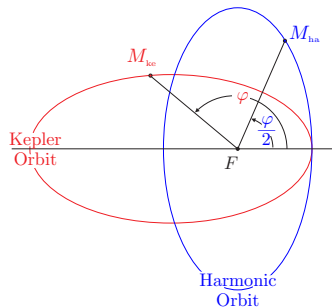
$$\Psi_{\text{ha}}(q) = \frac{1}{2} \omega^2 q^2$$

$$\mathcal{H}_{\text{ha}} = \frac{4x}{\ell} \left[\frac{1}{2} \left(p_x^2 + \frac{p_\theta^2}{4x^2} \right) + \frac{\omega^2 \ell^2}{8} \right]$$

Kepler

$$\Psi_{\text{ke}}(r) = -\frac{\mu}{r}$$

$$\mathcal{H}_{\text{ke}} = \frac{1}{2} \left(p_r^2 + \frac{p_\phi^2}{r^2} \right) - \frac{\mu}{r}$$



alias Goursat, Darboux, Levi-Civita,
Transformation de Bohlin ($z \mapsto \frac{1}{2}z^2$),
etc.

$$\xi x \xleftrightarrow[\text{total}]{\text{Echange}} Y(x) = x\Psi(x)$$

Les Bolsts

Echange partiel $\xi x \leftrightarrow Y(x)$ qui préserve l'isochronie ?

Les Bolsts

Echange partiel $\xi x \leftrightarrow Y(x)$ qui préserve l'isochronie ?

$$\frac{1}{16} \left(\frac{dx}{dt} \right)^2 + \Lambda^2 = \xi x - Y(x), \quad \frac{1}{16} \left(\frac{dx'}{dt'} \right)^2 + (\Lambda')^2 = \xi' x' - Y'(x').$$

Echange linéaire entre ξx et y :

$$\xi x - y = \xi' x' - y',$$

Les Bolsts

Echange partiel $\xi x \leftrightarrow Y(x)$ qui préserve l'isochronie ?

$$\frac{1}{16} \left(\frac{dx}{dt} \right)^2 + \Lambda^2 = \xi x - Y(x), \quad \frac{1}{16} \left(\frac{dx'}{dt'} \right)^2 + (\Lambda')^2 = \xi' x' - Y'(x').$$

Echange linéaire entre ξx et y :

$$\begin{pmatrix} \xi' x' \\ y' \end{pmatrix} = \begin{bmatrix} \cdot & \cdot \\ \cdot & \cdot \end{bmatrix} \begin{pmatrix} \xi x \\ y \end{pmatrix}$$

Les Bolsts

Echange partiel $\xi x \leftrightarrow Y(x)$ qui préserve l'isochronie ?

$$\frac{1}{16} \left(\frac{dx}{dt} \right)^2 + \Lambda^2 = \xi x - Y(x), \quad \frac{1}{16} \left(\frac{dx'}{dt'} \right)^2 + (\Lambda')^2 = \xi' x' - Y'(x').$$

Echange linéaire entre ξx et y :

$$\begin{pmatrix} \xi' x' \\ y' \end{pmatrix} = \begin{bmatrix} 0 & -1 \\ -1 & 0 \end{bmatrix} \begin{pmatrix} \xi x \\ y \end{pmatrix}$$

Les Bolsts

Echange partiel $\xi x \leftrightarrow Y(x)$ qui préserve l'isochronie ?

$$\frac{1}{16} \left(\frac{dx}{dt} \right)^2 + \Lambda^2 = \xi x - Y(x), \quad \frac{1}{16} \left(\frac{dx'}{dt'} \right)^2 + (\Lambda')^2 = \xi' x' - Y'(x').$$

Echange linéaire entre ξx et y :

$$\begin{pmatrix} \xi' x' \\ y' \end{pmatrix} = \underbrace{\begin{bmatrix} \alpha & \beta \\ \alpha - 1 & \beta + 1 \end{bmatrix}}_{B_{\alpha, \beta}} \begin{pmatrix} \xi x \\ y \end{pmatrix}$$

Les Bolsts

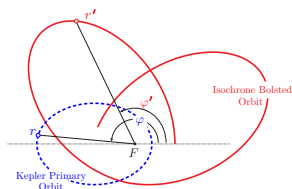
Théorème

Quand $\alpha\beta\xi' \neq 0$, l'image d'une PRO keplerienne par $B_{\alpha,\beta}$ est une

orbite isochrone telle que $\left(\chi = \frac{p\alpha|\xi|}{\mu\beta}\right)$

$$(r')^2 = \frac{\alpha\xi r^2 - \mu\beta r}{\xi'}$$

$$\varphi'(\varphi) = \frac{\varphi}{2} + \frac{\chi}{\sqrt{(1+\chi)^2 - e^2}} \arctan \left[\sqrt{\frac{1+\chi-e}{1+\chi+e}} \tan \left(\frac{\varphi}{2} \right) \right].$$



Les *i*Bolsts

Echange partiel entre $\xi x \leftrightarrow Y(x)$ qui préserve l'isochronie ?

$$\frac{1}{16} \left(\frac{dx}{dt} \right)^2 + \Lambda^2 = \xi x - Y(x), \quad \frac{1}{16} \left(\frac{dx'}{dt'} \right)^2 + (\Lambda')^2 = \xi' x' - Y'(x')$$

Echange symétrique entre ξx et y :

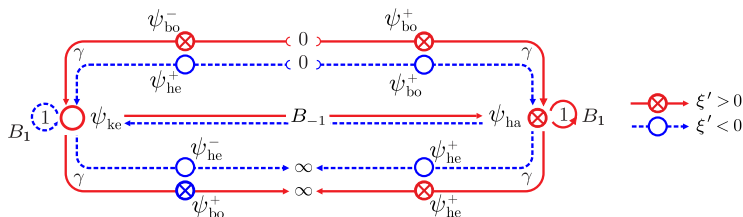
$$\begin{pmatrix} \xi' x' \\ y' \end{pmatrix} = \underbrace{\frac{1}{2} \begin{bmatrix} \gamma+1 & \gamma-1 \\ \gamma-1 & \gamma+1 \end{bmatrix}}_{B_\gamma} \begin{pmatrix} \xi x \\ y \end{pmatrix},$$

où B_γ est inversible $\Leftrightarrow \gamma = \alpha + \beta \neq 0$.

Le groupe des i Bolst kepleriens

Proposition

Tout potentiel isochrone est dans l'orbite du potentiel keplerien sous l'action du groupe des i Bolst $\mathbb{B} = \{B_\gamma, \gamma \in \mathbb{R}^*\}$.



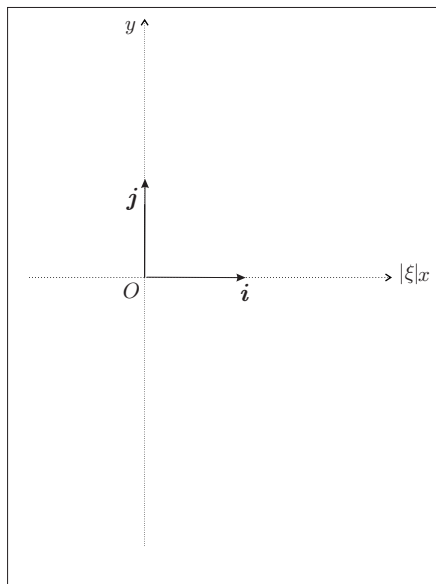
*i*Bolsts

La représentation additive de \mathbb{B} s'écrit :

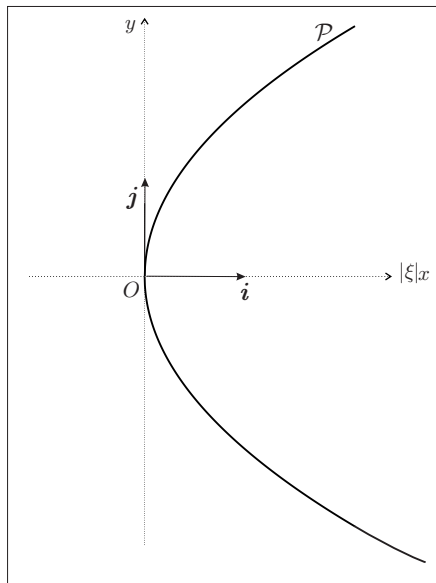
$$B_\chi = e^\chi \begin{bmatrix} \cosh(\chi) & \sinh(\chi) \\ \sinh(\chi) & \cosh(\chi) \end{bmatrix} \quad \text{quand } \gamma > 0,$$

avec $\gamma = e^{2\chi}$.

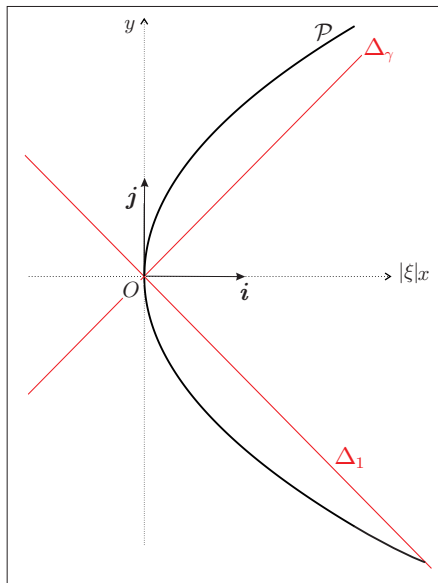
L'action des i Bolsts

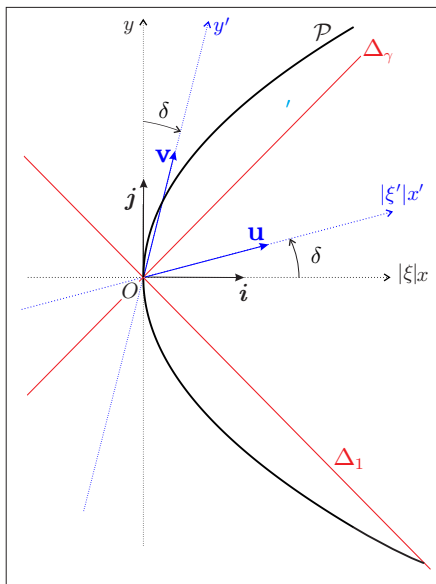


L'action des i Bolsts

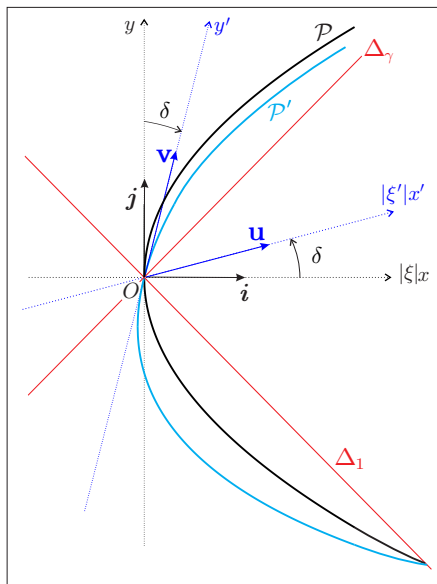


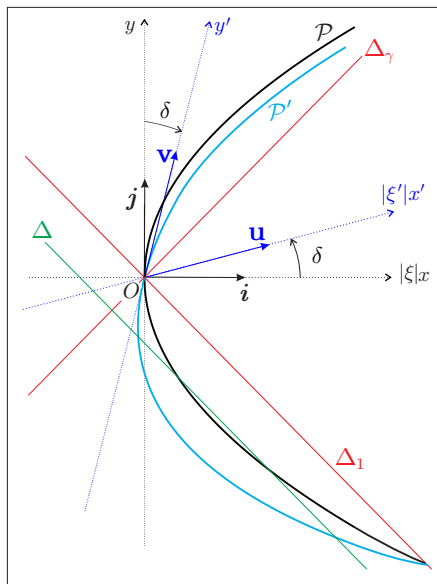
L'action des i Bolsts



L'action des i Bolsts

$$\tan \delta = \left| \frac{\gamma + 1}{\gamma - 1} \right|$$

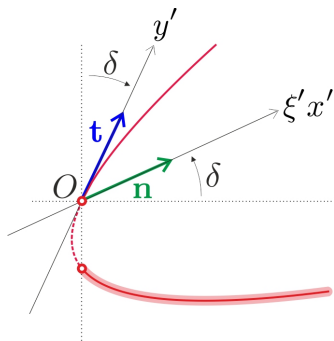
L'action des i Bolsts

L'action des *i*Bolsts

Référentiels propres

Définition

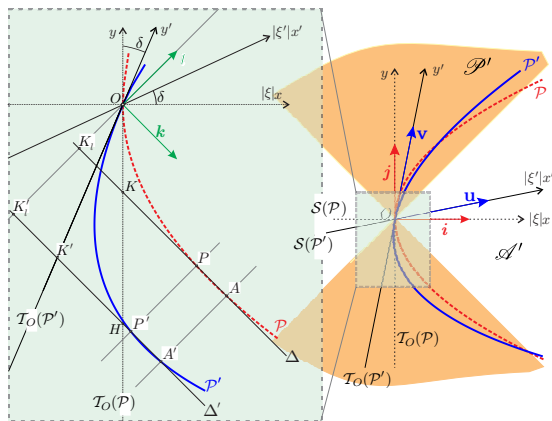
Le référentiel propre d'une parabole \mathcal{P} est $(O, \mathbf{t}, \mathbf{n})$ où $\mathcal{T}_O(\mathcal{P}) = \mathbb{R}\mathbf{t}$ est la tangente à \mathcal{P} en l'origine O et $\mathcal{S}(\mathcal{P}) = \mathbb{R}\mathbf{n}$ son axe de symétrie.



Etre ou ne pas être isochrone...

Théorème

Une orbite est isochrone \Leftrightarrow Elle est l'image par un i Bolst d'une orbite keplerienne.



i Bolsts ...

Considérons $\mathbf{k} = \frac{1}{\sqrt{2}}(\mathbf{i} - \mathbf{j})$ et $\mathbf{l} = \frac{1}{\sqrt{2}}(\mathbf{i} + \mathbf{j})$ les deux vecteurs propres de l'*i* Bolst B_γ tels que

$$B_\gamma(\mathbf{k}) = \mathbf{k} \text{ et } B_\gamma(\mathbf{l}) = \gamma\mathbf{l}.$$

Dans le système de coordonnées affine ($w_1 = \xi x, w_2 = y$) et en posant $\mathbf{w}' = B_\gamma(\mathbf{w})$, on a

$$\begin{cases} \xi'x' - y' = \xi x - y \\ \xi'x' + y' = \gamma(\xi x + y) \end{cases} \implies (\xi'x')^2 - y'^2 = \gamma [(\xi x)^2 - y^2].$$

Relativité isochrone vs Relativité restreinte

- Principe de relativité restreinte d'Einstein : les lois de la physique sont les mêmes dans tous les référentiels galiléens ;
- La longueur de l'intervalle d'espace-temps $c^2 dt^2 - x^2$ est conservée dans un changement de référentiel galiléen.

Relativité isochrone vs Relativité restreinte

- Principe de relativité isochrone : les équations du mouvement sont les mêmes dans tous les référentiels propres ;
- La longueur de l'"*intervalle isochrone*", $\xi x - y$, est conservée dans tout changement de référentiel.

Relativité isochrone vs Relativité restreinte

Principe de relativité isochrone

Dans le référentiel canonique \mathcal{R}_O , avec le temps propre $d\tau = \xi dt$, une orbite keplerienne (ξ, Λ^2) décrite par les coordonnées affines $(\xi x, y)$ vérifie

$$\frac{1}{16} \left[\frac{d}{d\tau} (\mathbf{w}|\mathbf{i}) \right]^2 = (\mathbf{w}|\mathbf{i} - \mathbf{j}) + (\mathbf{w}_\Lambda|\mathbf{j})$$

avec $\mathbf{w}_\Lambda = -\Lambda^2 \mathbf{j}$.

Dans le référentiel bolsté \mathcal{R}'_O avec les coordonnées affines $(\xi' x', y')$ et le temps propre $d\tau' = \xi' dt'$, l'orbite bolstée vérifie

$$\frac{1}{16} \left[\frac{d}{d\tau'} (\mathbf{w}'|\mathbf{u}) \right]^2 = (\mathbf{w}'|\mathbf{u} - \mathbf{v}) + (\mathbf{w}'_\Lambda|\mathbf{v})$$

avec $\mathbf{w}'_\Lambda = -\Lambda^2 \mathbf{v}$.

Sommaire

Systèmes autogravitants

L'isochronie en 3D

La théorie de la relativité isochrone

La loi de Kepler

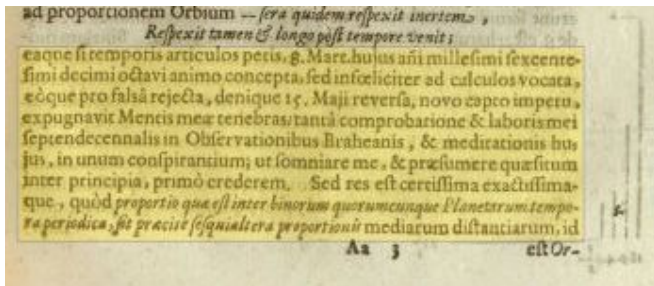
Dynamique autogravitante

La 3^{eme} loi de Kepler



J. Kepler, *Harmonices Mundi*, 1619

La 3^{eme} loi de Kepler



J. Kepler, *Harmonices Mundi*, 1619

La 3^{eme} loi de Kepler

Commun. Math. Phys.

Digital Object Identifier (DOI) <https://doi.org/10.1007/s00220-018-3212-y>

Communications in
**Mathematical
Physics**



Isochrony in 3D Radial Potentials

From Michel Hénon's Ideas to Isochrone Relativity: Classification, Interpretation and Applications

Alicia Simon-Petit¹ , Jérôme Perez¹, Guillaume Duval²

¹ Applied Mathematics Laboratory, Ensta ParisTech, Paris Saclay University, Palaiseau, France.
E-mail: alicia.simon-petit@ensta-paristech.fr; jerome.perez@ensta-paristech.fr

² Mathematics and Informatics Laboratory, INSA Rouen, Saint-Étienne-du-Rouvray, France

Received: 13 October 2017 / Accepted: 31 May 2018

© Springer-Verlag GmbH Germany, part of Springer Nature 2018

Demi grand axe isochrone

Pour $\psi_{\text{ke}}(r) = -\frac{\mu}{r}$, le demi-grand axe est $a = \frac{r_a + r_p}{2}$.

Pour $\psi_{\text{he}}(r) = -\frac{\mu}{b + \sqrt{b^2 + r^2}}$, on pose $a = \frac{\sqrt{b^2 + r_a^2} + \sqrt{b^2 + r_p^2}}{2}$.

Pour $\psi_{\text{bo}}(r) = \frac{\mu}{b + \sqrt{b^2 - r^2}}$, on définit $a = \frac{\sqrt{b^2 - r_a^2} + \sqrt{b^2 - r_p^2}}{2}$.

Pour ψ_{ha}^R , une boule homogène de rayon R , on pose $a = \left(\frac{1}{2}\right)^{2/3} R$.

La 3^{eme} loi de Kepler des isochrones

Théorème

Pour toute orbite périodique dans un potentiel isochrone, le carré de la période radiale est proportionnel au cube du demi grand axe isochrone :

$$\tau_r^2 = \frac{4\pi^2}{\mu} a^3$$

où μ est le paramètre de masse dans Ψ_{ke} , Ψ_{he} , Ψ_{bo} ou $\mu = \omega^2 R^3$ dans Ψ_{ha}^R .

Sommaire

Systèmes autogravitants

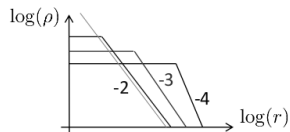
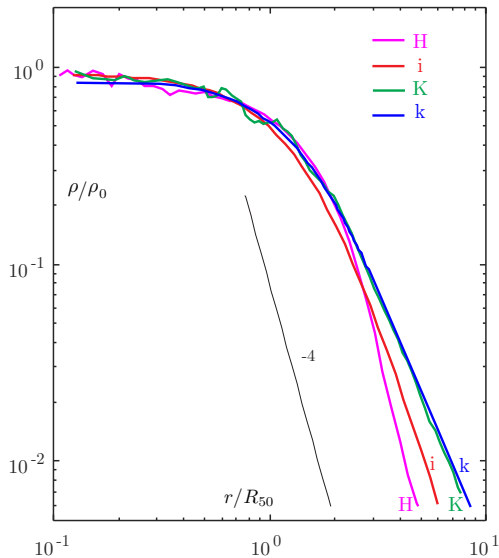
L'isochronie en 3D

La théorie de la relativité isochrone

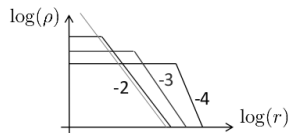
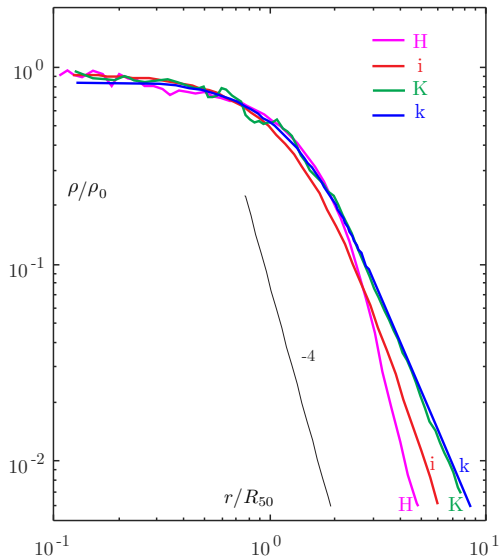
La loi de Kepler

Dynamique autogravitante

Analyse de la densité de masse

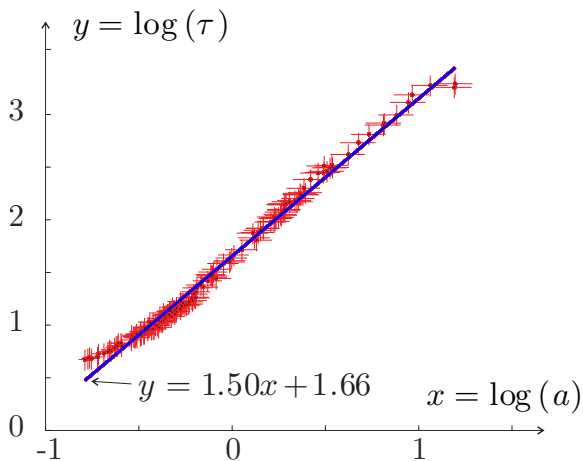


Analyse de la densité de masse

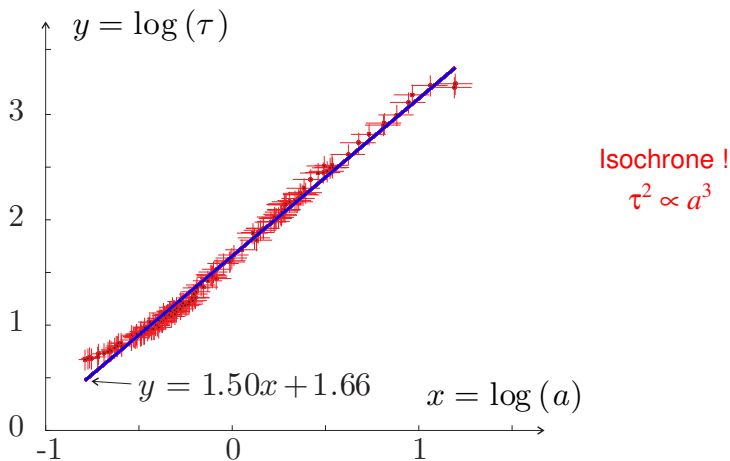


- H : Sphère de Hénon ($t = 100T_d$),
- i : Modèle isochrone théorique ($b = 0.36$),
- K : Modèle de King numérique,
- k : Modèle de King théorique ($W_0 = 9$).

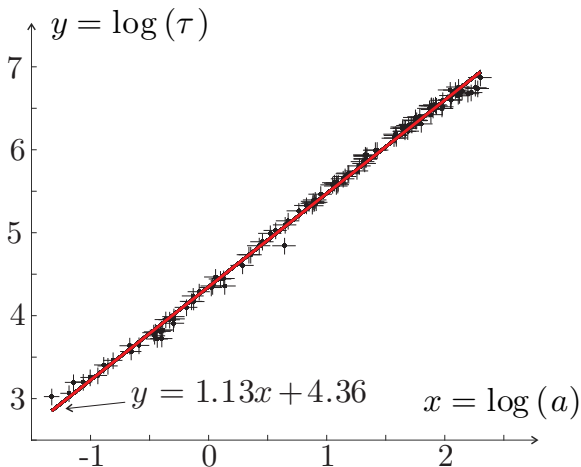
Analyse isochrone d'une sphère de Hénon effondrée



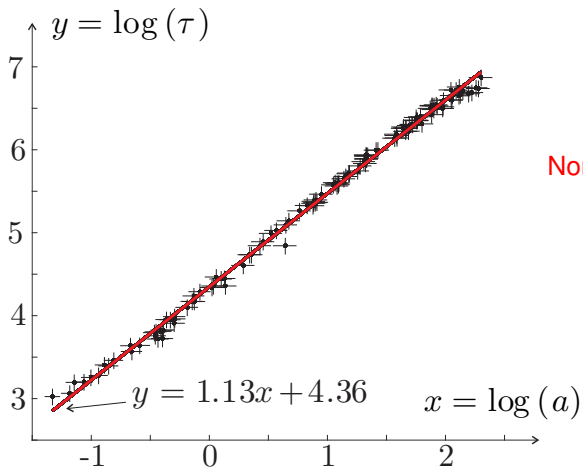
Analyse isochrone d'une sphère de Hénon effondrée



Analyse isochrone d'un modèle de King



Analyse isochrone d'un modèle de King



Conclusion

- Caractérisation géométrique de l'ensemble des potentiels isochrones ;
- Generalisation de la transformation de Bohlin :
$$(\xi_{\text{iso}}, \Psi_{\text{iso}}) \xleftrightarrow{B\gamma} (\xi_{\text{ke}}, \Psi_{\text{ke}})$$
- Relativité isochrone : Tout isochrone est keplerien dans son référentiel propre.
- Conséquences :
 - generalisation de la 3^{eme} loi de Kepler ;
 - compréhension fine du théorème de Bertrand.
- Le résultat de la relaxation violente est isochrone.

References



Alicia Simon-Petit, Jérôme Perez, Guillaume Duval. *Isochrony in 3D radial potentials*. In : Communication in Mathematical Physics. (Accepted, preprint : <https://arxiv.org/abs/1804.11282>).



Alicia Simon-Petit, Jérôme Perez, Guillaume Plum. *A global paradigm for the evolution of self-gravitating systems*. Submitted.

Merci pour votre attention !

